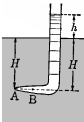
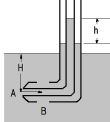
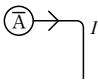
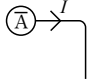


よくわかる発変電工学 正誤表

コード 66538 第1版第1刷(2016/11/28現在)

ページ/行	誤	正
21 8行目	2010 年では年間電力量において火力発電が約63%に対して水力発電は10%程度である。なお、この年の原子力発電の割合は、36%で年々増加の傾向にあったが、...	2010 年では年間電力量において火力発電が約61%に対して水力発電は8%程度である。なお、この年の原子力発電の割合は、28%で年々増加の傾向にあったが、...
22 6行目	ここで、 $1 \text{ kg} \cdot \text{m/s} = 9.8 \frac{\text{J}}{\text{s}} = 9.8 \text{ W}$ であるから(2-1)式は次式となる。	ここで、 $1 \text{ kg} \cdot \text{m/s} = 9.8 \frac{\text{J}}{\text{s}} = 9.8 \text{ W}$ であるから(2-1)式は次式となる。
23 図2-2		
25 式2-9	$Q = \frac{100YHk}{365 \times 24 \times 60 \times 60} \left[\text{m}^3 / \text{s} \right]$	$Q = \frac{100Yk}{365 \times 24 \times 60 \times 60} \left[\text{m}^3 / \text{s} \right]$
43 下から3行目	水車ではランナや吸出管部に重・軽負荷に発生し効率低下・振動・騒音・腐食などの原因になる。	水車ではランナ、ガイドベーン、吸出管部などに発生し効率低下・振動・騒音・腐食などの原因になる。
127 下から11,12行	$n \rightarrow p^+ + e^- + \bar{\nu} \quad (5-1)$...eが電子、 $\bar{\nu}$ は反ニュートリノを...	$n \rightarrow p^+ + e^- + \bar{\nu} \quad (5-1)$...eが電子、 $\bar{\nu}$ は反ニュートリノを... (7化ニユに変更)
133 4行目	$\frac{dI}{dx} = -\mu x \quad (5-4)$	$\frac{dI}{dx} = -\mu I \quad (5-4)$
134 下から6行目	...a: 中性子ビームの断面積 ($[\text{m}^2]$)...	...a: 中性子ビームの断面積 ($[\text{m}^2]$)...
142 7行目	...パラメータである、 v と η について...	...パラメータである、 v と η について... (7化ニユに変更)
142 8行目	...次の通りである、 v は核分裂が発生...	...次の通りである、 v は核分裂が発生... (7化ニユに変更)
142 14行目	... η の値は v と各断面積の組み合わせ...	... η の値は v と各断面積の組み合わせ... (7化ニユに変更)
142 16行目	$\eta = \frac{\sigma_f}{\sigma_a} v = \frac{\sigma_f}{\sigma_f + \sigma_c} v = \frac{1}{1 + \frac{\sigma_c}{\sigma_f}} v \quad (5-14)$	$\eta = \frac{\sigma_f}{\sigma_a} v = \frac{\sigma_f}{\sigma_f + \sigma_c} v = \frac{1}{1 + \frac{\sigma_c}{\sigma_f}} v \quad (5-14)$ (7化ニユに変更)
143 図5-10 タイトル	核分裂核種(235U)の全断面積...	核分裂核種(²³⁵ U)の全断面積...
145 図5-12	第一世代(の四角内) 「 n 個の熱中性子が ²³⁵ Uに吸収」 第二世代(の四角内) 「 $n' = n\eta\epsilon p f L_f L_t$ の熱中性子がUに吸収」	第一世代(の四角内) 「 n 個の熱中性子が ²³⁵ Uに吸収」 第二世代(の四角内) 「 $n' = n\eta\epsilon p f L_f L_t$ の熱中性子が ²³⁵ Uに吸収」
145 下から7行目	...熱中性子がUに吸収としている。	...熱中性子が ²³⁵ Uに吸収としている。
169 10行目	太陽電池(solar cell, photovoltaic cell)は...	太陽電池(solar cell, photovoltaic cell)は...
172 図6-4 中央	GaAS系	GaAs系
172 7行目	太陽光発電システム(solar photovoltaic generation system)は...	太陽光発電システム(solar photovoltaic generation system)は...
172 9-10 行目	...図6-5は家庭用の基本構成図の一例を示す。	...図6-5に家庭用太陽光発電システムの基本構成の一例を示す。
182 7行目	燃料電池(fuel cell)は燃料を...	燃料電池(fuel cell)は燃料を...
182 図6-15 上部		

ページ/行	誤	正
189 下から 4行目	・・・岩石の隙間を通して浸透したり・・・	・・・岩石の隙間を通 <u>つて</u> 浸透したり・・・
192 下から 9行目	・・・(carbon-neutral 植物が成長する・・・	・・・(carbon <u>neutral</u> 植物が成長する・・・
196 3行目	・・・導電性が高いのであるが, MHD・・・	・・・導電性が <u>高いが</u> , MHD・・・
205 11行目	$E_a = E_b + E_c = 0$ (7-5)	$E_a + E_b + E_c = 0$ (7-5)
217 問題10	追加	$N_s = \frac{20000}{120 + 20} + 30 = 172.85$ $N = N_s \times \frac{H^{\frac{5}{2}}}{p^{\frac{5}{2}}} = 172.85 \times \frac{120^{\frac{5}{2}}}{11520^{\frac{5}{2}}} = 640.17$ $N = \frac{120 \times f}{p} \text{ より } p = \frac{7200}{60.17} = 11.25$ $p = 12 \text{ 極とすると, } N_0 = \frac{7200}{12} = 600 \text{ rpm}$
218 4行目	$-0.3 - 0.4 = -0.7$	$-3.0 - 4.0 = -7.0$
219 9行目	エネルギー	<u>ア</u> ネルギー
219 14行目	飽和水の=417.51	飽和水の比エンタルピー = 417.51
219 15行目	過熱蒸気表より=3250	過熱蒸気表より <u>h_g</u> = 3250
219 15行目	h-s線図上の点から	h-s線図上の <u>h_g</u> の点から
219 17行目	出口の値は=2580	出口の値は <u>h_u</u> = 2580
219 20行目	比エンタルピーは=	比エンタルピーは <u>h_u</u> =
219 21行目	出口の値は=2160	出口の値は <u>h_u</u> = 2160